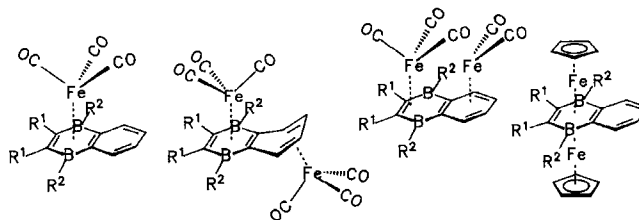


1557 Gleiter*, R., Hyla-Kryspin, I., Siebert, W.

Elektronische Struktur von Mono- und Bis(carbonyl-eisen)- sowie Bis[(cyclopentadienyl)eisen]-Komplexen mit 1,4-Dihydro-1,4-diboranaphthalin

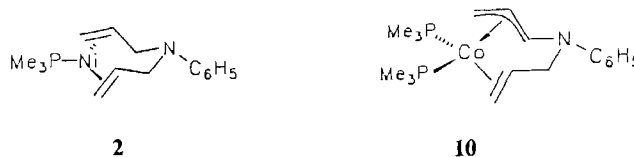
Electronic Structure of Mono- and Bis(carbonyliron) as well as Bis(cyclopentadienyliron) Complexes of 1,4-Dihydro-1,4-diboranaphthalene



1563 Klein*, H.-F., Helwig, M., Braun, S.

Chelatierende Koordination von Di- und Triallyl-aminen: Synthesen und NMR-Studien von Trimethylphosphan-Nickel- und -Cobalt-Komplexen

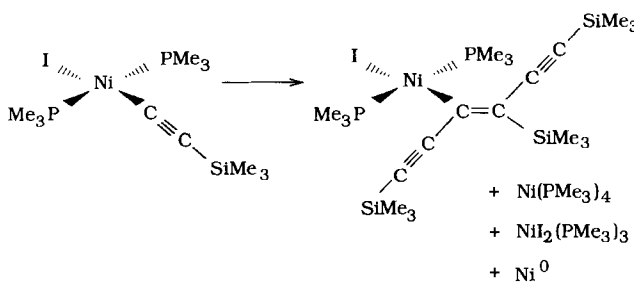
Chelating Coordination of Di- and Triallylamines: Syntheses and NMR Studies of Trimethylphosphane Nickel and Cobalt Complexes



1569 Klein*, H.-F., Zwiener, M., Petermann, A., Jung, T., Cordier, G., Hammerschmitt, B., Flörke, U., Haupt, H.-J., Dartiguenave, Y.

Thermisch kontrollierte oxidative Lineartrimerisierung von Alkynylgruppen in (Trimethylphosphan)nickel-Komplexen: Strukturen und die Rolle ligandreicher Vorstufen $NiX(C\equiv CR)(PMe_3)_n$ ($n = 2-4$)

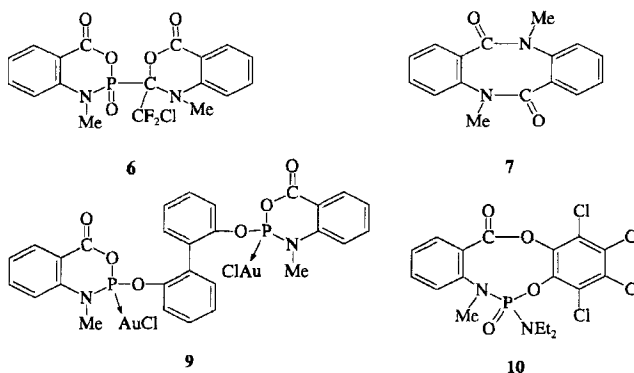
Oxidative Linear Trimerization of Alkynyl Groups in (Trimethylphosphane)nickel Complexes: Structures and the Role of Ligand-rich Precursors $NiX(C\equiv CR)(PMe_3)_n$ ($n = 2-4$)



1579 Neda, I., Fischer, A., Kaukorat, T., Jones, P. G., Schmutzler*, R.

Umsetzung einiger Dihydrobenzoxazaphosphorinone mit Nucleophilen; ungewöhnliche Oxidations-, Insertions- und Umlagerungsprodukte und deren Charakterisierung durch Einkristall-Röntgenstrukturanalyse

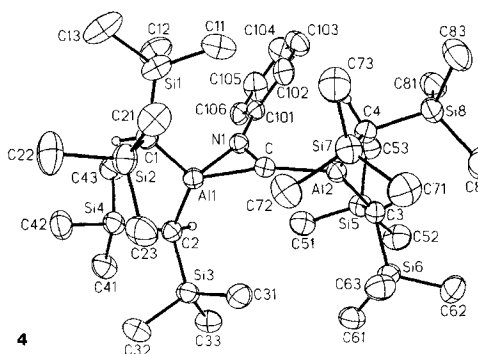
Reaction of Some Dihydrobenzoxazaphosphorinones with Nucleophiles; Unusual Oxidation, Insertion, and Rearrangement Products and their Characterisation by Single-Crystal X-Ray Analysis



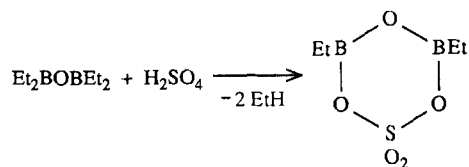
1587 Uhl*, W., Schütz, U., Hiller, W., Heckel, M.

Umsetzung von Isothiocyanaten und Isonitrilen mit $R_2Al-AIR_2$ [$R = CH(SiMe_3)_2$]; ein- und zweifache Insertion von Isonitril in die Aluminium-Aluminium-Bindung

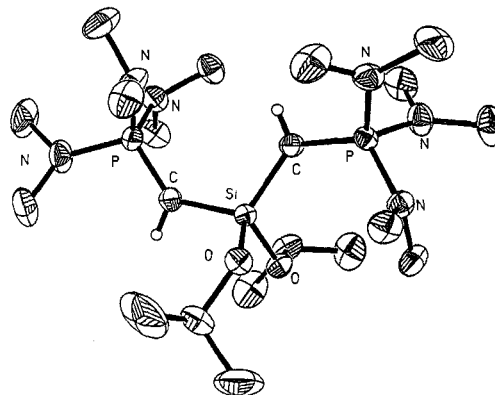
Reaction of Isothiocyanates and Isonitriles with $R_2Al-AIR_2$ [$R = CH(SiMe_3)_2$]; Single and Double Insertion of Isonitrile into the Al-Al Bond



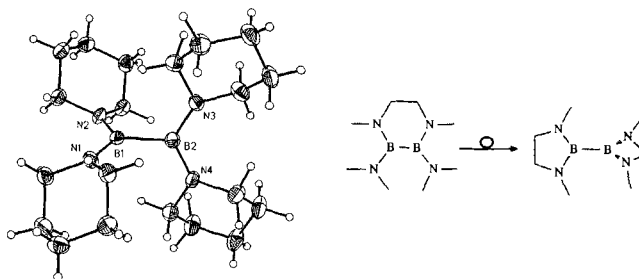
- 1593 **Köster*, R., Schübler, W., Bläser, D., Boese, R.**
 (Organoboryl)sulfate – Herstellung und Charakterisierung
 Organoboryl Sulfates – Preparation and Characterisation



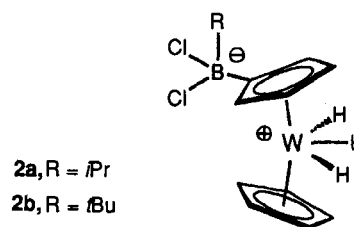
- 1599 **Dreihäupl, K.-H., Angermaier, K., Riede, J., Schmidbauer*, H.**
 Phosphonium-Ylide mit funktionalisierten Silyl-Substituenten
 Phosphonium Ylides with Functionalized Silyl Substituents



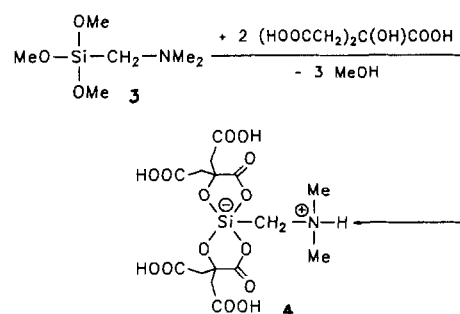
- 1605 **Loderer, D., Nöth*, H., Pommerening, H., Rattay, W., Schick, H.**
 Beiträge zur Chemie des Bors, 222. – Chemie von Diboran(4)-Derivaten: Gemischte Tetraaminodiborane(4) und Addition von Diboran(4)-Derivaten an ein Amino-imino-boran
 Contribution to the Chemistry of Boron, 222. – Chemistry of Diborane(4) Derivatives: Mixed Tetraaminodiboranes(4) and Additions of Diborane(4) Derivatives to an Amino-imino-borane



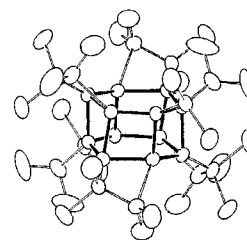
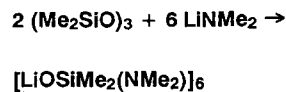
- 1613 **Braunschweig*, H., Wagner, T.**
 Zur Addition von Alkyldichloroboranen an Bis(η^5 -cyclopentadienyl)dihydridowolfram
 On the Addition of Alkyldichloroboranes to Bis(η^5 -cyclopentadienyl)dihydridotungsten



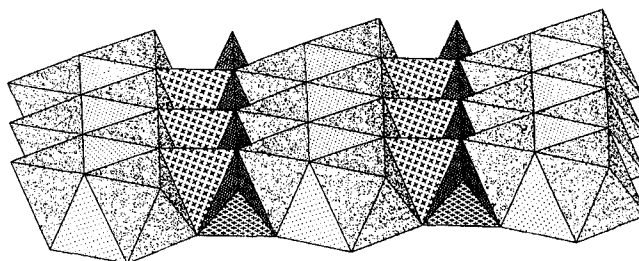
- 1615 **Mühleisen, M., Tacke*, R.**
 Zweifach deprotonierte Citronensäure als zweizähliger Ligand für pentakoordiniertes Silicium: Synthese und strukturelle Charakterisierung des zwitterionischen λ^5 Si-Silicats Bis[citrato(2-)- O^3, O^4][(dimethylammonio)methyl]silicat-Hydrat
 Twofold Deprotonated Citric Acid as a Bidentate Ligand of Pentacoordinate Silicon: Synthesis and Structural Characterization of the Zwitterionic λ^5 Si-Silicate Bis[citrato(2-)- O^3, O^4][(dimethylammonio)methyl]silicate Hydrate



- 1619 **Herberich*, G. E., Spaniol, T. P., Fischer, A.**
 Synthese und Struktur des neuen α -Aminosilanolats
 $[\text{LiOSiMe}_2(\text{NMe}_2)]_6$
 Synthesis and Structure of the New α -Aminosilanolate
 $[\text{LiOSiMe}_2(\text{NMe}_2)]_6$



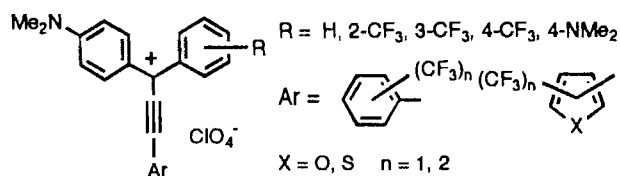
- 1621 **Neuhausen, J., Evstafyev, V. K., Kremer, R. K., Tremel*, W.**
 $\text{TaNi}_{2.05}\text{Te}_3$, eine Verbindung mit „aufgefüllter“ Ta-
 $\text{Fe}_{1+x}\text{Te}_3$ -Struktur
 $\text{TaNi}_{2.05}\text{Te}_3$ a Novel Telluride with “Stuffed” Ta-
 $\text{Fe}_{1+x}\text{Te}_3$ Structure



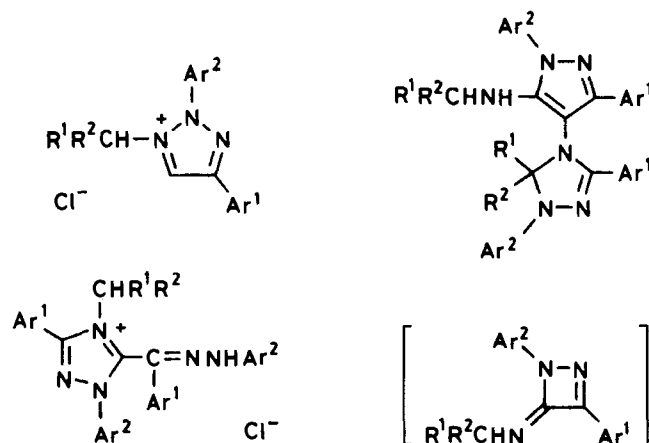
B

Teil B: Organische Chemie / Part B: Organic Chemistry

- 1627 **Muramatsu, H., Okumura, A., Shibata, K., Matsui*, M.**
 Synthese, Absorptionsspektren und Photostabilität
 Trifluormethylgruppen enthaltender Triarylmethan-
 Farbstoff-Ethinologen
 Synthesis, Absorption Spectra, and Photostability of
 Triarylmethane Dye Ethynologues Containing Trifluo-
 romethyl Group(s)



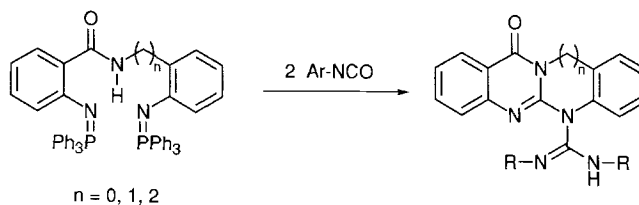
- 1633 **Moderhack*, D., Lorke, M., Ernst, L., Schomburg, D.**
 Zur Reaktion von Isocyaniden mit Nitriliminen
 On the Reaction of Isocyanides with Nitrile Imines



1641 **Molina*, P., Obón, R., Conesa, C., Arques, A., de los Desamparados Velasco, M., Lamas-Saiz, A. L., Foces-Foces, C.**

Darstellung von [5 + 6]-, [6 + 6]- und [6 + 7]-bicyclischen Guanidinen aus C,C'-Bis(iminophosphoranen)

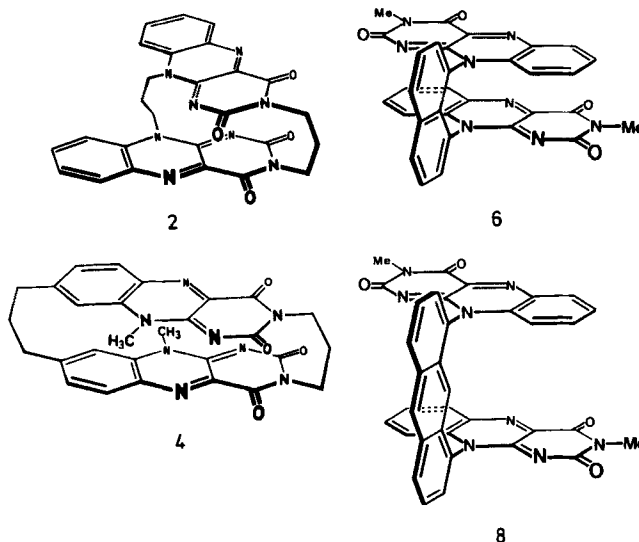
Preparation of [5 + 6]-, [6 + 6]-, and [6 + 7]-Bicyclic Guanidines from C,C'-Bis(iminophosphoranes)



1653 **Staab*, H. A., Kirsch, P., Zipplies, M. F., Weinges, A., Krieger, C.**

$\pi \cdots \pi$ -Wechselwirkungen von Flavinen, 3^[1]. – [3.3]Isoalloxazinophane und Aren-verbrückte Bis(isoalloxazine): Synthesen, Charakterisierungen und Korrelation von Eigenschaften mit intramolekularen Wechselwirkungen

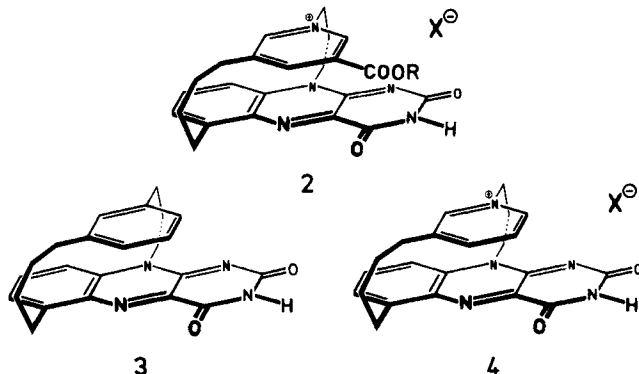
$\pi \cdots \pi$ Interactions of Flavins, 3^[1]. – [3.3]Isoalloxazinophanes and Arene-Bridged Bis(isoalloxazines): Syntheses, Characterizations and Properties Related to Intramolecular Interactions



1667 **Staab*, H. A., Zipplies, M. F., Müller, T., Storch, M., Krieger, C.**

$\pi \cdots \pi$ -Wechselwirkungen von Flavinen, 4. – Pyridinio-isoalloxazinophane als Modell-Systeme für „Active-Site-Komplexe“ in Flavoenzymen: Synthesen, Kristallstruktur-Analysen und spektroskopische Eigenschaften

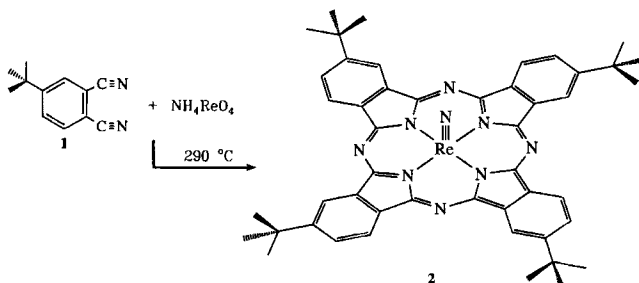
$\pi \cdots \pi$ Interactions of Flavins, 4. – Pyridinio-isoalloxazinophanes as Model Systems for Active-Site Complexes in Flavoenzymes: Syntheses, X-Ray Structure Analyses and Spectroscopic Properties



1681 **Ziener, U., Hanack*, M.**

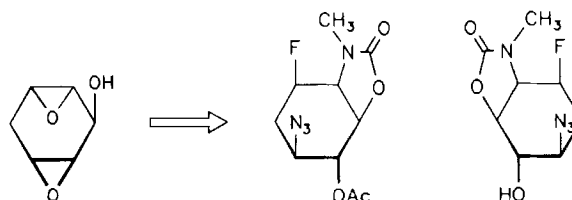
Synthese und Charakterisierung von Nitrido(tetra-tert-butylphthalocyaninato)rhenium(V) und Nitrido(phthalocyaninato)rhenium(V)

Synthesis and Characterization of Nitrido(tetra-tert-butylphthalocyaninato)rhenium(V) and Nitrido(phthalocyaninato)rhenium(V)



1687 **Meier, W., Seitz, B., Hoenke, C., Prinzbach*, H.**
Aminoglycosid-Antibiotica – Modifizierte, enantiomerenreine Glycosyl-Acceptoren vom Sannamin- und Sporamin-Typ

Aminoglycoside Antibiotics – Modified, Enantiopure Sannamine- and Sporamine-Type Glycosyl Acceptors

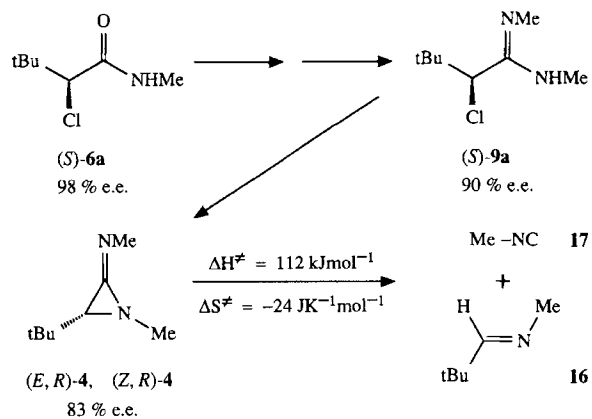


1699

Quast*, H., Aldenkortt, S., Heller, E.,
Schäfer, P., Schmitt, E.

Synthese und Thermolyse eines chiralen, nicht-racemischen Iminoaziridins

Synthesis and Thermolysis of a Chiral, Non-Racemic Iminoaziridine

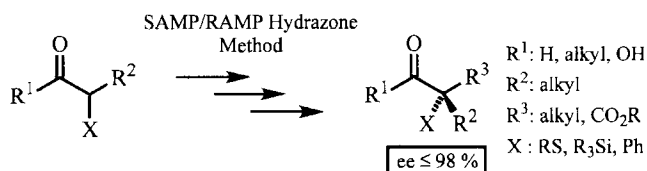


1707

Enders*, D., Zamponi, A., Schäfer, T.,
Nübling, C., Eichenauer, H., Demir, A. S.,
Raabe, G.

Enantioselective Synthese von polyfunktionellen kleinen Bausteinen mit einem quartären stereogenen Zentrum

Enantioselective Synthesis of Polyfunctional Small Building Blocks with a Quaternary Stereogenic Center

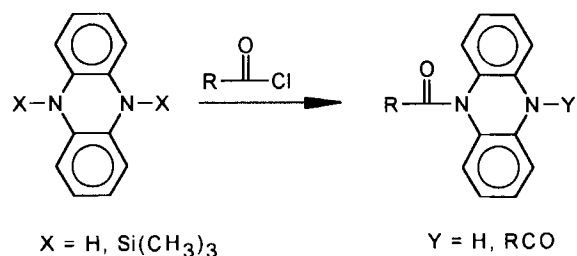


1723

Mikulla*, M., Mülhaupt, R.

Synthese von *N*-acylierten 5,10-Dihydrophenazin-Verbindungen

Synthesis of *N*-Acylated Derivatives of 5,10-Dihydrophenazine

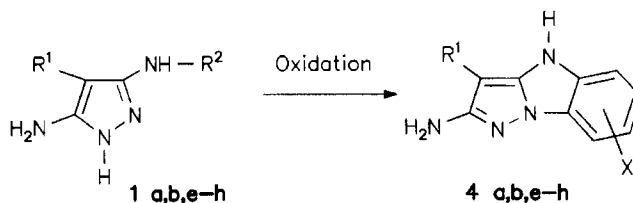


1729

Kluge, R., Schulz*, M., Pobišova, M.,
Nüchter, M.

Radikalreaktionen an N-Heterocyclen, XIV. – Oxidative Cyclisierung von Anilinopyrazolen zu Pyrazolo[1,5-*a*]benzimidazolen

Free Radical Reactions of N-Heterocyclic Compounds, XIV. – Oxidative Cyclization of Anilinopyrazoles to Pyrazolo[1,5-*a*]benzimidazoles

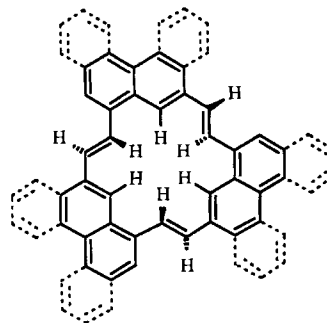


1735

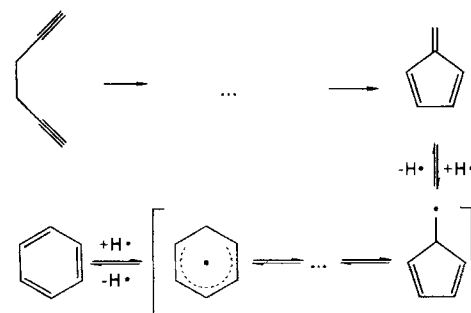
Kretzschmann, H., Müller, K., Kolshorn, H.,
Schollmeyer, D., Meier*, H.

Triphenanthro-anellierte [18]Annulene mit Alkoxy-Seitenketten – Eine neue Klasse discotischer Flüssigkristalle

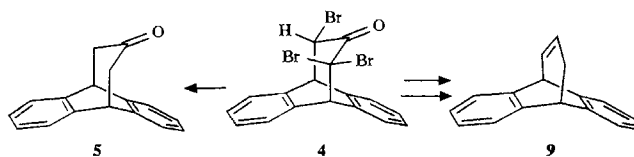
Triphenanthro-Anellated [18]Annulenes with Alkoxy Side Chains – A Novel Class of Discotic Liquid Crystals



- 1747** Zimmermann*, G., Nüchter, M., Remmler, M., Findeisen, M., Hopf*, H., Ernst, L., Mlynek, C.
Thermische Isomerisierungen, XXIII. – Das Thermogramm einer C₆H₆-Chemie im Temperaturbereich von 450 bis 730°C
Thermal Rearrangements, XXIII. – The Thermogram of a C₆H₆ Chemistry in the Temperature Range from 450 to 730°C

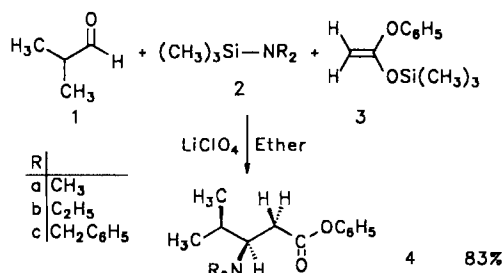


- 1755** Sarhan, A. A. O., Hoffmann*, H. M. R.
Synthese von 9,10-Dihydro-9,10-propanoanthracen-12-onen aus Anthracen und mit der BSA-[N,O-Bis(trimethylsilyl)acetamid-]Methode erzeugten Oxyallyl-Kation-Zwischenstufen
Synthesis of 9,10-Dihydro-9,10-propanoanthracene-12-ones from Anthracenes and Oxyallyl Cation Intermediates Generated by the BSA [N,O-Bis(trimethylsilyl)acetamide] Method

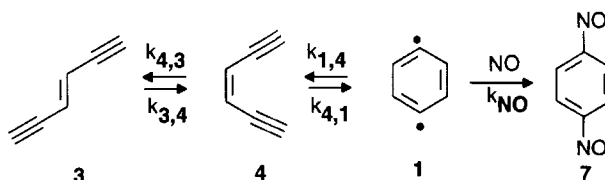


Tribrominated ketone **4** has been prepared by a new oxyallyl methodology.

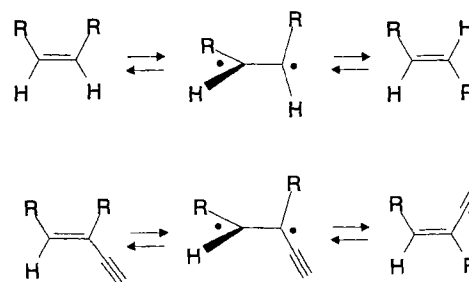
- 1761** Saidi, M. R., Heydari, A., Ipaktschi*, J.
LiClO₄-induzierte Dreikomponenten-Aminoalkylierung von Aldehyden
LiClO₄ Induced One Pot Three-Component Aminoalkylation of Aldehydes



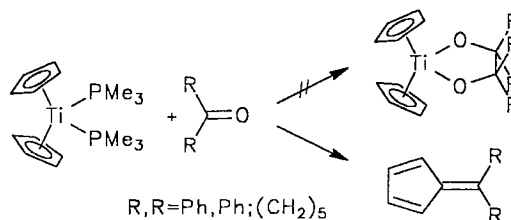
- 1765** Roth*, W. R., Hopf*, H., Horn, C.
Zur Energiedelle von Diradikalen, V. – 1,3,5-Cyclohexatrien-1,4-diyl und 2,4-Cyclohexadien-1,4-diyl
The Energy Well of Diradicals, V. – 1,3,5-Cyclohexatriene-1,4-diyl and 2,4-Cyclohexadiene-1,4-diyl



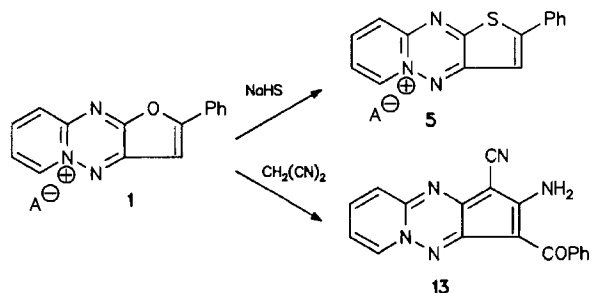
- 1781** Roth*, W. R., Hopf*, H., Horn, C.
Propargyl-Stabilisierungsenergie
Propargyl Stabilisation Energy



- 1797** Gleiter*, R., Wittwer, W.
Zur Reaktion von Bis(trimethylphosphan)titanocen mit Ketonen
On the Reaction of Bis(trimethylphosphane)titanocene with Ketones



1799

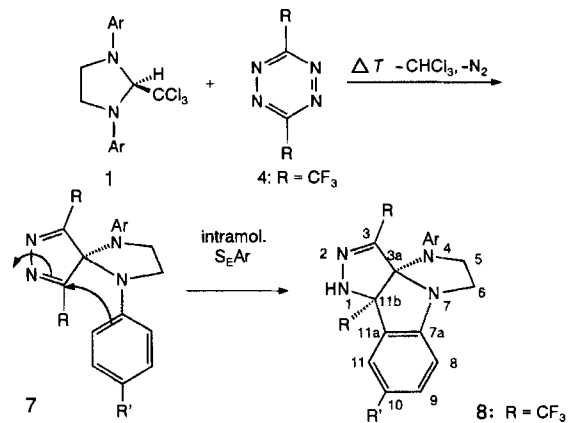
Riedl, Z., Hajós*, G., Kollenz, G., Messmer, A.Synthese von neuen heteroaromatischen polykondensierten *as*-Triazinen durch RingtransformationSynthesis of Novel Heteroaromatic Polyfused *as*-Triazines by Ring Transformation

1803

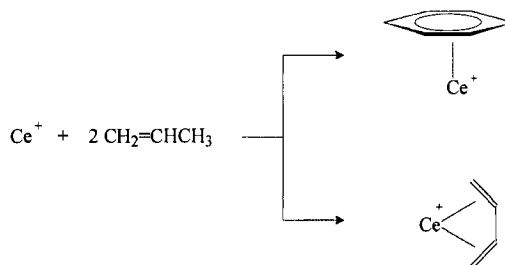
Frenzen, G., Kümmell, A., Meyer-Dulheuer, C., Seitz*, G.

Wanzlick-Carbene in der [4 + 1]-Cycloaddition mit Bis(methylthio)- und Bis(trifluormethyl)-1,2,4,5-tetrazin

Wanzlick Carbenes in the [4 + 1] Cycloaddition Reaction with Bis(methylthio)- and Bis(trifluoromethyl)-1,2,4,5-tetrazine



1807

Heinemann, C., Schröder, D., Schwarz*, H.Durch „nackte“ Lanthanoid-Kationen begünstigte Kohlenstoff-Kohlenstoff-Bindungsbildung: Die Reaktion von Ce^+ und La^+ mit Propen in der Gasphase
Carbon-Carbon Bond Formation Promoted by "Bare" Lanthanide Cations: The Reactions of Ce^+ and La^+ with Propene in the Gas Phase

1811

König*, B., Zieg, H., Bubenitschek, P., Jones, P. G.

Palladium-katalysierte Kupplung von Vinylferrocenen mit aromatischen Halogeniden – Eine hochwirksame Route zu (Ferrocenylethenyl)arenen

Palladium-Catalyzed Coupling of Vinylferrocenes with Aromatic Halides – A Highly Efficient Route to (Ferrocenylvinyl)arenes

